

مجله علمی پژوهشی دانشگاه علوم پزشکی زنجان  
دوره ۱۴، شماره ۵۵، تابستان ۱۳۸۵، صفحات ۱ تا ۸

## بررسی آسیب ناشی از ایسکمی و برقراری مجدد خون رسانی عصب سیاتیک در موش صحرایی بالغ

محمد رضا غلامی<sup>\*</sup>، دکتر فرید ابوالحسنی<sup>\*</sup>، دکتر پریچهر پاسبخش<sup>\*</sup>، دکتر علیقلی سبحانی<sup>\*\*</sup>،  
دکتر فهیمه اسدی آملی<sup>\*\*\*</sup>، دکتر محمد حسن کریم فر<sup>\*\*\*\*</sup>

نویسنده‌ی مسئول: زنجان، دانشگاه علوم پزشکی زنجان، گروه آناتومی reza57.gholami@yahoo.com

دریافت: ۸۴/۱۲/۲۰ پذیرش: ۸۵/۹/۲۰

### چکیده

**زمینه و هدف:** ایسکمی نقش مهمی در گسترش آسیب‌های پاتولوژیک در نوروپاتی‌های مختلف ایغا می‌کند. ریپرفیوزن ناهنجاری‌های پاتولوژیک و فیزیولوژیک اعصاب تحت ایسکمی را تعقیت می‌کند. در این تحقیق آسیب ناشی از ایسکمی و ریپرفیوزن عصب سیاتیک تا روز چهاردهم ریپرفیوزن مورد بررسی قرار داده شده است.

**روش بررسی:** در این تحقیق به منظور انجام آزمایش ایسکمی-ریپرفیوزن باستن و آزاد سازی مجادد عروق خون‌رسانی کننده به عصب سیاتیک، ۳۰ سر موش صحرایی مورد استفاده قرار گرفتند. موش‌ها به ۵ گروه تقسیم شدند. گروه یک به عنوان گروه کنترل تحت آزمایش ایسکمی ریپرفیوزن قرار نگرفت. در چهار گروه دیگر که هر گروه شامل ۶ سر موش بود، بعد از ۳ ساعت ایجاد ایسکمی کامل در عروق خون‌رسانی کننده به عصب سیاتیک، خون‌رسانی مجادد به ترتیب در زمان‌های صفر، ۳ ساعت، ۷ روز و ۱۴ روز بعد انجام گردید.

**یافته‌ها:** از دیدگاه پاتولوژیک دو فاز قابل مشاهده بود. در فاز ۱ (ساعت صفر و<sup>۱</sup>)، دژنراسیون فیر و ادم اندوزنوریال مشاهده شد. در فاز ۲ (روزهای هفتم و چهاردهم)، دژنراسیون فیر و ادم اندوزنوریال شدیدتری مشاهده گردید. نقص رفتاری در بیشتر از ۷۵ درصد از موش‌های صحرایی با ایسکمی به تنها بی اتفاق افتاد (در مقایسه با گروه کنترل). به دنبال این نقص به وجود آمده، کاهش تاریجی قابل توجهی در توانایی‌های موش‌های مورد مطالعه تا ساعت ۳ ریپرفیوزن مشاهده شد. بیشترین نقص رفتاری مربوط به موش‌های مورد مطالعه در گروه ساعت ۳ ریپرفیوزن مشاهده گردید.

**نتیجه‌گیری:** آسیب ناشی از ایسکمی و ریپرفیوزن بستگی به طول دوره‌ی ریپرفیوزن دارد. حوادث ریز عروقی (microvascular) که در طول دوره‌ی ریپرفیوزن اتفاق می‌افتد، ممکن است در شدت دادن به آسیب فیرهای عصبی بعد از دوره‌ی ایسکمی نقش داشته باشد.

**وازگان کلیدی:** ایسکمی، ریپرفیوزن، عصب سیاتیک

### مقدمه

جهت انجام گلیکولیز را کاهش می‌دهد. در سلول‌های بافت‌های ایسکمیک بعد از این که سوبستراهای موجود به پایان رسیدند، تولید انرژی از راه بی‌هوایی متوقف

ایسکمی در پزشکی شایع‌ترین عامل آسیب است که معمولاً به خاطر کاهش جریان خون در بستر عروقی بافت‌های خاص اتفاق می‌افتد. ایسکمی تحويل سوبسترا

<sup>\*</sup> متخصص پاتولوژی، دانشیار دانشگاه علوم پزشکی تهران

\* کارشناس ارشد آناتومی، مری دانشگاه علوم پزشکی زنجان

<sup>\*\*</sup> دکترای تخصصی آناتومی، استادیار دانشگاه علوم پزشکی زابل

\*\* دکترای تخصصی آناتومی، دانشیار دانشگاه علوم پزشکی تهران

\*\*\* دکترای تخصصی آناتومی، استاد دانشگاه علوم پزشکی تهران

از آزمایشگاه فارماکولوژی دانشکده پزشکی دانشگاه علوم پزشکی تهران تهیه گردید. موش‌های صحرایی در قفس‌های جداگانه در حرارت ۲۲ درجه‌ی سانتیگراد در اتاق حیوانات آزمایشگاه جنین شناسی گروه آناتومی نگهداری شدند. حیوانات ۱۲ ساعت در معرض نور و ۱۲ ساعت در تاریکی قرار گرفته، با غذای استاندارد موش صحرایی تغذیه شده و از یک هفته قبل از انجام آزمایش جهت تطابق با محیط در آزمایشگاه نگهداری شدند. مطالعات انجام شده در تمام گروه‌ها طی زمان‌های یکسان به عمل آمد. موش‌ها به ۵ گروه ۶ تایی تقسیم شدند. گروه اول، گروه کترول بود. گروه ۲ با ۳ ساعت بستن لیگاتور فقط تحت فرآیند ایسکمی بوده و ریپر فیوژن نداشت. گروه ۳، ۴ و ۵ بعد از ایجاد ایسکمی به ترتیب ۳ ساعت، ۷ روز و ۱۴ روز تحت ریپر فیوژن قرار گرفتند. با استفاده از تزریق داخل صفاقی ۵۰ میلی‌گرم بر کیلوگرم کاتامین (Ketamin HCl) و ۵ میلی‌گرم بر کیلوگرم زیلازین (Xylazine) (۵) حیوانات بی‌هوش شده و برای عمل جراحی آماده گشتند. در محل اتصال اندام تحتانی به تن، بایک برش شریان اینگوینال و ورید فمورال در معرض دید قرار گرفتند و سپس با دقت شریان و ورید از عصب فمورال جدا شده و با استفاده از نخ سیلک ۶/۰ و تکنیک اسلیپت نات (Slipt-Knot) (۶) به مدت ۳ ساعت (۷) مسدود گشتند. سپس بر حسب زمان‌های مورد مطالعه بعد از ۳ ساعت نخ سیلک ۶/۰ باز شده و به بافت اجازه‌ی خون‌گیری مجدد داده شد. مزیت این تکنیک سهولت در بازکردن مجدد شریان بدون صدمه زدن به آن می‌باشد. محل جراحی با استفاده از نخ سیلک ۲/۰ بخیه گردید. مطالعات رفتاری بر طبق روش‌هایی که در ادامه بیان خواهد شد، انجام گرفت. پس از اتمام مطالعات رفتاری، موش‌ها با استفاده از دوز اضافی ماده‌ی بی‌هوشی کشته شده و قسمت دیستال عصب سیاتیک آن‌ها خارج گردید. به منظور فیکس نمودن، قسمت دیستال عصب سیاتیک به مدت ۴۸ ساعت داخل فرمالین ۱۰ درصد قرار داده شد.

می‌شود (۱). آسیب ریپر فیوژن (برقراری مجدد خون رسانی) به آسیب بافتی اشاره دارد که بعد از بیشتر از ۱۰ دقیقه حالت ایسکمی و برقراری مجدد جریان خون در بافت ایجاد می‌شود. حالت ریپر فیوژن بیشتر از حالت ایسکمی به بافت آسیب می‌رساند که بیشتر به علت تولید رادیکال‌های آزاد در طی این فاز می‌باشد (۲،۳). آسیب ایسکمی و ریپر فیوژن ترتیبی از حوادث شیمیایی است که به عملکرد بد سلولی و نکروز منتهی می‌شود و از دو بخش تشکیل شده است:

- آسیب مستقیم: آسیبی خفیف بوده و در طی فاز ایسکمی ایجاد می‌شود.

- آسیب غیر مستقیم: در طی ریپر فیوژن ایجاد می‌شود و شامل آسیب بافتی است که بعد از فاز ایسکمی بیشتر از ۱۰ دقیقه و برقرار شدن دوباره‌ی جریان خون به وجود می‌آید (۲،۳).

ایسکمی موجب ایجاد تغییرات پاتولوژیکی در بافت عصبی می‌شود و در پی آن برگشت مجدد جریان خون به بافت عصبی باعث آسیب ناشی از ریپر فیوژن می‌گردد. در عصب ریپر فیوژن شده، پاسخ‌های التهابی حد موجب میلین زدایی ناشی از ماکروفاز می‌شود که در اختلالات بدون میلین شدن (Inflammatory demyelization disorder) مانند مالیپل اسکلروزیس و سنتروم گیلن باره مشاهده می‌گردد (۴). در تحقیقاتی که توسط پژوهشگران در زمینه‌ی فرآیند ایسکمی و ریپر فیوژن در اعصاب محیطی صورت گرفته، نتایج متفاوتی گزارش شده است. با توجه به اهمیت این فرآیند، آسیب ناشی از ایسکمی و ریپر فیوژن عصب سیاتیک تا روز چهاردهم ریپر فیوژن در دانشگاه علوم پزشکی تهران در سال ۱۳۸۴-۸۵ مورد بررسی قرار داده شد.

## روش بررسی

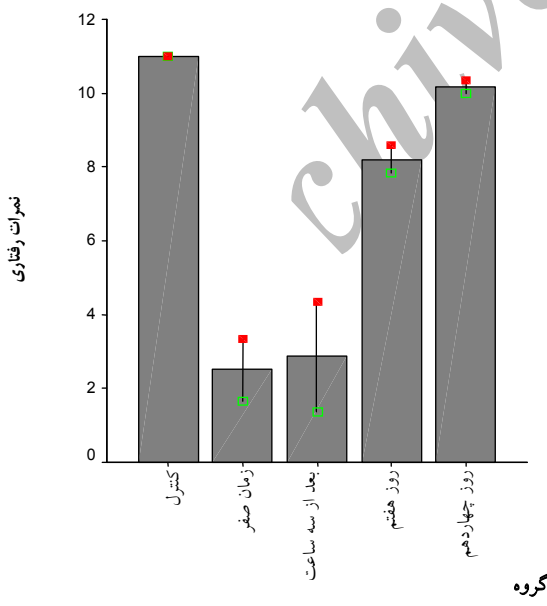
۳۰ سر موش صحرایی اسپر اگو- داولی (Sprague-Dawley) با وزن بین ۲۵۰ تا ۳۰۰ گرم

**آنالیز آماری:** به منظور مقایسه‌ی گروه‌های مختلف با یکدیگر از آزمون کورسکال- والیس و جهت تعیین گروه‌هایی که با یکدیگر اختلاف معنی‌دار آماری داشتند، از آزمون من ویتنی (Mann Whitney) استفاده گردید. مقایسه‌ی چندگانه به نحوی انجام شد که احتمال سطح خطای کلی برابر با  $\alpha = 0.05$  در نظر گرفته شد (۹).

### یافته‌ها

**مطالعات رفتاری:** نتایج حاصل از مقایسه‌ی هر کدام از گروه‌های ۱، ۲، ۳، ۴ و ۵ با گروه ۱ (گروه کنترل) نشان می‌دهد که در زمان‌های مختلف ریپرفیوژن، میانگین نمرات رفتاری به طور معنی‌داری در هر گروه کاهش یافته است (نمودار ۱).

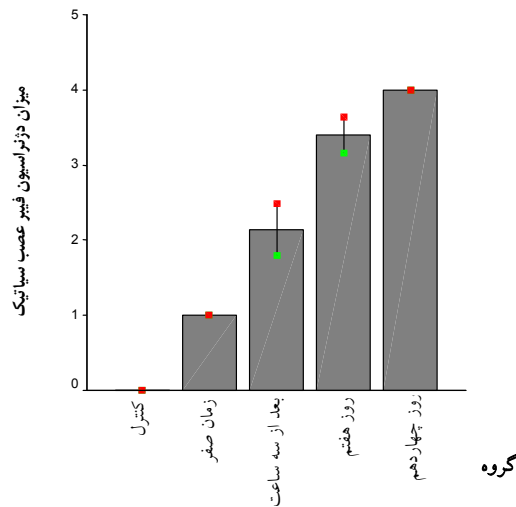
**مطالعات هیستوپاتولوژیک:** از مقایسه‌ی هر کدام از گروه‌های ۱، ۲، ۳، ۴ و ۵ با گروه ۱ (گروه کنترل) نتیجه می‌شود که در زمان‌های مختلف ریپرفیوژن میانگین مقدار ادم و نیز مقدار دژنراسیون فیر به طور معنی‌داری در هر گروه افزایش یافته است (نمودار ۲).



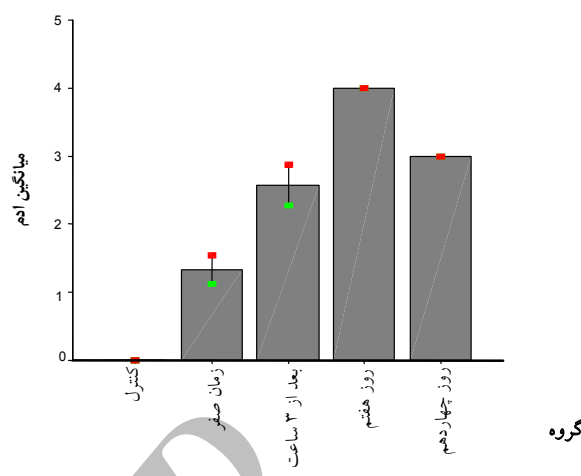
نمودار ۱: نمرات رفتاری گروه‌های مختلف آزمایش. ستون‌ها نشان دهنده میانگین نمره‌های رفتاری در گروه‌های مختلف آزمایش می‌باشند.

**مطالعات رفتاری:** مطالعات رفتاری توسط شخصی که نسبت به تقسیم‌بندی گروه‌های آزمایش آگاهی نداشت انجام شد. این مطالعات بر اساس قدم زدن (Gait)، گسترش پنجه (Toe Spread)، رفلکس سرعتی (Racing Reflex) میزان حساسیت به نیشگون (Pinch Sensitivity) انجام می‌شود. Gait بین صفر (بدون عمل) تا ۳ (نرمال) درجه بندی شده است. مقادیر ۱ و ۲ به ترتیب مشخص کننده نقص شدید و خفیف می‌باشند. Toe Spread بین صفر (غایب) و ۳ (نرمال) درجه بندی شده است و ۱ و ۲ به ترتیب به تقاضه ضعیف و ملایم اشاره دارد. Pinch Sensitivity بین صفر (بدون حساسیت) و ۲ (نرمال) درجه بندی شده است. Racing Reflex بین صفر (بدون رفلکس) و ۳ (نرمال) درجه بندی شده است (۶-۸). جمع نمره‌های کسب شده از ۴ پارامتر مذکور بین صفر و ۱۱ متغیر می‌باشد.

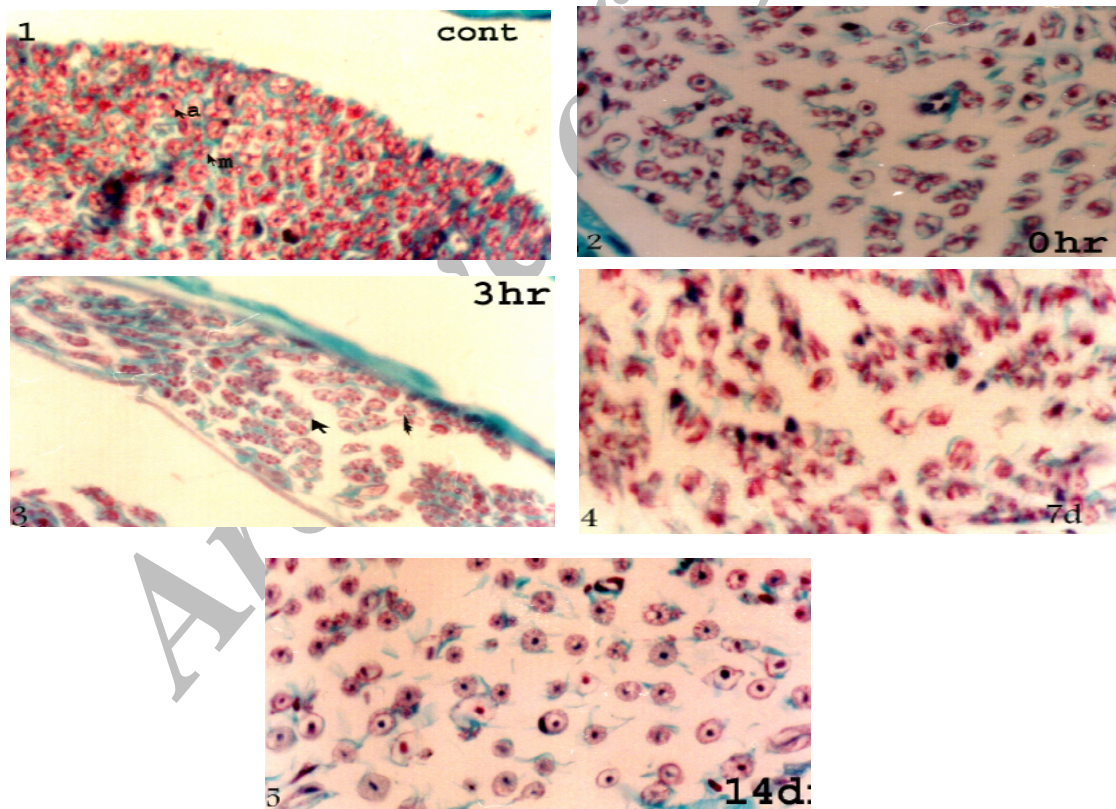
**مطالعات هیستوپاتولوژیک:** به منظور بررسی اثرات ایسکمی- ریپرفیوژن بر روی فیبرسیاتیک، از دو فاکتور ادم و دژنراسیون (Ischemic Fiber Degeneration [IFD]) استفاده گردید. رتبه‌بندی این فاکتورها، بین مقادیر ۱ تا ۴ انجام شد. به این ترتیب که: اساس شدت و گسترش ادم به صورت صفر (نرمال)، ۱ (ادم خفیف)، ۲ (ادم متوسط)، ۳ (ادم شدید)، ۴ (ادم شدیدتر و گستردہ) تقسیم بندی شد. IFD نیز بین صفر تا ۴ بدین شرح رتبه بندی گردید: کمتر از ۲ درصد، بین ۳ تا ۲۵ درصد، بین ۲۶ تا ۵۰ درصد، بین ۵۱ تا ۷۵ درصد و بیشتر از ۷۵ درصد که بیانگر درصد فیبرهای دژنره شده می‌باشد. برای هر سیکل درصد فیبرهای تحت دژنراسیون تخمین زده شد و سپس میانگین محاسبه گردید. به منظور رنگ‌آمیزی، نمونه‌های عصب سیاتیک به مدت ۸ ساعت در فرمالین فیکس گردیدند و سپس پاساز و مقطع‌گیری در پارافین انجام شد. برای ارزیابی دژنراسیون فیر از رنگ آمیزی تری کروم- گوموری (شکل ۱) و برای ارزیابی ادم اندونوریال از رنگ آمیزی هماتوکسیلین - ائوزین (شکل ۲) استفاده گردید.



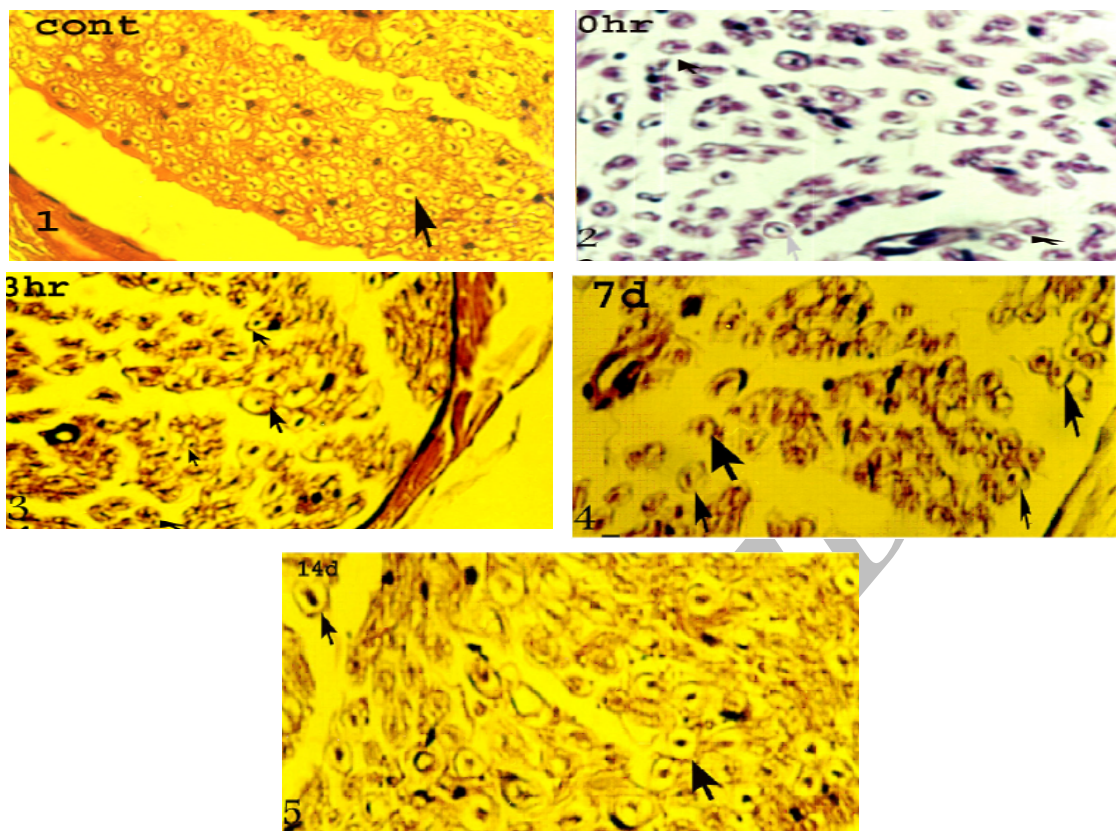
نمودار ۳: دزمیناسیون فیبر عصب سیناتیک گروههای مختلف آزمایش. ستون‌ها نشان دهنده میانگین فیبرهای ایسکمیک دزمینه شده در گروههای مختلف آزمایش می‌باشند.



نمودار ۲: میانگین ادم در گروههای مختلف آزمایش. ستون‌ها نشان دهنده میانگین ادم در گروههای مختلف آزمایش می‌باشند.



شکل ۱: تصاویر IFD (دزمیناسیون ایسکمیک فیبر) در گروههای مختلف آزمایش. در سمت چپ تصویر، شماره‌ی گروههای ذکر شده است و در سمت راست، زمان ریپرفیوزن ذکر گردیده است. در تصویر مربوط به گروه ۱ یا گروه کنترل پیکانی که با حرف *a* مشخص شده، نشانگر آکسون و پیکانی که با حرف *m* مشخص شده است، بیانگر میلین می‌باشد. تصاویر شماره‌ی ۲ تا ۵ نشان دهنده تغییرات IFD در گروههای ۰ ساعت صفر (0hr) و ۳ (3hr) و ۷ روزهای هفتم (7d) و چهاردهم (14d) ریپرفیوزن می‌باشند (رنگ آمیزی تری کروم گوموری، با بزرگ نمایی ۴۰۰).



شکل ۲: تصاویر مقطع عرضی عصب سیناتیک در گروه‌های مختلف آزمایش که نشان دهنده ادم اندونوریال در گروه‌های مختلف آزمایش می‌باشد. در گوشی پایین و چپ تصویر شماره ۱ یا گروه کنترل نوک بیکان نشان دهنده اندونوریوم می‌باشد. تصاویر ۲ تا ۵ به ترتیب بیانگر تصاویر مقطع عرضی عصب سیناتیک در گروه‌های ۲ تا ۵ یعنی ساعت صفر (0hr) و ۳ (3hr) و چهاردهم (7d) و روزهای هفتم (14d) ریپرفیوژن می‌باشند (رنگ آمیزی H&E، با بزرگ نمایی ۴۰۰).

مطالعات نوکادا و دیک (Nukada and Dyck) می‌باشد که در مطالعه‌ی آن‌ها نیز در فاز ایسکمی فیرهای متورم و بزرگ مشاهده گردید (۱۰). در حالی که براساس مطالعات هارویاسو (Haruyasu) در فاز ایسکمی، ادم مشاهده نشده است (۶).

بر اساس مطالعات نی لر (Nayler) در فاز ایسکمی، قطع جریان خون و کمبود اکسیژن، منجر به متابولیسم بی‌هوایی، کمبود انرژی، کاهش آدنوزین تری فسفات (Adenosine Triphosphate[ATP]) و تجمع هیپوگراتین در سلول‌های ایسکمیک می‌گردد. فقدان انرژی پمپ یونی آدنوزین تری فسفاتاز (Adenosine TriPhosphatase[ATP ase]) غشاء

## بحث

تغییرات پاتولوژیک اعصاب ناشی از ایسکمی و برقراری مجدد خونرسانی منوط به دژنراسیون فیرهای همراه با ادم عصب می‌باشد (۴). بنابراین در این مطالعه تغییرات پاتولوژیک بر اساس ادم اندونوریال و دژنراسیون فیر نشان داده شده است. برای بررسی نتایج حاصل از مطالعات پاتولوژیک، آن‌ها به ۳ فاز (فاز ایسکمی، فاز ریپرفیوژن کوتاه مدت و فاز ریپرفیوژن بلند مدت) تقسیم شدند. در فاز ایسکمی از مقایسه نتایج حاصل از آنالیز آماری میانگین ادم در گروه ۲ (ساعت صفر،  $mean\ rank = 9/5$ ) با گروه کنترل (mean rank =  $3/5$ )، ادم اندونوریال واضحی در گروه ۲ مشاهده شد ( $P = 0.002$ ). این یافته در راستای نتایج

چهاردهم ریپر فیوژن مورد بررسی قرار داده شد. از مقایسه‌ی نتایج حاصل از آنالیز آماری میانگین‌ها در گروه ۴ (روز هفتم، mean rank = ۹) با گروه کنترل (mean rank = ۳/۵) ادم اندونوریال واضحی در گروه ۴ مشاهده شد ( $P = ۰/۰۰۴$ ).

براساس مطالعات Haruyasu زمانی که طول دوره‌ی ریپر فیوژن تا روزهای هفتم و چهاردهم ادامه می‌باید، ادم واضحی در مقایسه‌ی با گروه کنترل اتفاق می‌افتد (۶). از مقایسه‌ی نتایج حاصل از آنالیز آماری میانگین‌ها مربوط به دژنراسیون فیر در گروه ۴ (روز هفتم، mean rank = ۹) با گروه کنترل (mean rank = ۳/۵) دژنراسیون فیر به طور واضح مشاهده شد ( $P = ۰/۰۰۴$ ). براساس مطالعات Haruyasu در روزهای هفتم و چهاردهم ریپر فیوژن، فیرها به طور شدیدتری دژنره شده و بعد از روز چهاردهم تعداد فیرهایی که هنوز دژنراسیون نشان می‌دهند، خیلی کم هستند و به وسیله‌ی رژنراسیون فیرها که به عنوان مجموعه‌ای از فیرهای میلینه شده کوچک شناخته می‌شوند، جایگزین می‌شوند (۶). از مقایسه‌ی نتایج حاصل از آنالیز آماری میانگین ادم عصب و دژنراسیون فیر در گروه ۵ (روز چهاردهم، mean rank = ۹/۵) با گروه کنترل (mean rank = ۳/۵) ادم اندونوریال و اینیز دژنراسیون فیر به طور واضحی در این گروه مشاهده شد ( $P = ۰/۰۰۲$ ). از مقایسه‌ی نتایج حاصل از آنالیز آماری میانگین‌ها مربوط به دژنراسیون فیر در گروه ۵ (روز چهاردهم، mean rank = ۹/۵) با گروه کنترل (mean rank = ۳/۵) دژنراسیون فیر به طور واضح مشاهده شد ( $P = ۰/۰۰۲$ ). آزمایش‌های فوق ساختاری (Ultra structural) بعد از ۳ ساعت ریپر فیوژن، نشان دهنده‌ی دژنراسیون آکسونی، آکسون‌های مچاله شده (چین و چروک دار)، واکولیزاسیون آکسونی، ادم اندونوریال و جمع شدن اریتروسیت‌ها در عروق اندونوریال می‌باشدند. بعد از یک هفته ریپر فیوژن تعییرات دژنراتیو در سلول‌های شوان آن قابل مشاهده است در حالی که دژنراسیون آکسونی پا بر جاست (۷).

سلولی را تحت تأثیر قرار داده و منجر به تجمع کلسیم و سدیم و آب در سلول می‌گردد که در نهایت منجر به تورم سلول می‌شود (۱۱).

هم چنین در فاز ایسکمی از مقایسه‌ی نتایج حاصل از آنالیز آماری میانگین دژنراسیون فیر در گروه ۲ (ساعت صفر، mean rank = ۹/۵) با گروه کنترل (mean rank = ۳/۵) در فاز ۲ یا فاز ریپر فیوژن کوتاه مدت از مقایسه‌ی نتایج حاصل از آنالیز آماری میانگین در گروه سه (بعد از ۳ ساعت، mean rank = ۱۰) با گروه کنترل (mean rank = ۳/۵) ادم اندونوریال واضحی مشاهده شد ( $P = ۰/۰۰۱$ ). براساس مطالعات Haruyasu در فاز ایسکمی و فاز ریپر فیوژن کوتاه مدت، ادم دیده نشده است و فقط زمانی که محدوده‌ی ریپر فیوژن به بیشتر از یک هفته گسترش باید، ادم مشاهده می‌گردد (۶). از سوی دیگر از مقایسه‌ی نتایج حاصل از آنالیز آماری میانگین‌ها مربوط به دژنراسیون فیر در گروه ۳ (بعد از ۳ ساعت، mean rank = ۱۰) با گروه کنترل (mean rank = ۳/۵) دژنراسیون فیر به طور واضحی مشاهده گردید ( $P = ۰/۰۰۱$ ). براساس مطالعات Haruyasu در فاز ایسکمی و فاز ریپر فیوژن کوتاه مدت، دژنراسیون فیر مشاهده شده است (۶). در فاز ریپر فیوژن، رادیکال‌های سوپراکسید ( $O_2^-$ ) و هیدروژن پراکسید ( $H_2O_2$ ) تولید می‌شود. این وضعیت منجر به پراکسیداسیون چربی و اکسیده شدن پروتئین غشاء سلول می‌شود (۱۲). ریپر فیوژن باعث آسیب سلول‌های اندوتیال همراه با ادم اندونوریال و افزایش دژنراسیون فیرها می‌شود (۱۳، ۱۴).

نتایج این قسمت همان طور که ذکر شد به جزء مطالعات Haruyasu و همکارانش با بقیه‌ی مطالعات موجود همخوانی دارد و به نظر می‌رسد براساس مطالعات انجام شده، عامل آسیب رسان در این فاز رادیکال‌های آزاد باشند که هم باعث آسیب غشاء شده و تورم ایجاد می‌کنند و هم باعث آسیب میلین و دژنراسیون فیر می‌گردند. در فاز ریپر فیوژن بلندمدت تعییرات پاتولوژیک ایجاد شده در روزهای هفتم و

ریپرفیوژن مشاهده می‌شود. در حالی که براساس مطالعات Haruyasu و همکارانش بیشترین نقص رفتاری در روز هفتم ریپرفیوژن مشاهده شده است. با توجه به این که سایر محققین به توصیف مطالعات رفتاری در طول زمان پرداخته‌اند این موضوع احتیاج به بررسی‌های بیشتری دارد.

### نتیجه گیری

آسیب ناشی از ایسکمی و ریپرفیوژن بستگی به طول دوره‌ی ریپرفیوژن دارد. حادث ریز عروقی (micro vascular) که در طول دوره‌ی ریپرفیوژن اتفاق می‌افتد ممکن است در تشدید آسیب فیبرهای عصبی بعد از دوره‌ی ایسکمی نقش داشته باشد. در پایان توصیه می‌شود آسیب ناشی از ایسکمی و ریپرفیوژن از دیدگاه مولکولی و هم چنین آسیب واردہ به سلول‌های شوان آن مورد بررسی قرار گیرد.

بیشترین مقدار ادم دژنراسیون فیبر در فاز ریپرفیوژن بلندمدت مشاهده شده است. بیشترین مقدار ادم در روز هفتم ریپرفیوژن و بیشترین مقدار دژنراسیون فیبر در روز چهاردهم ریپرفیوژن وجود داشت. نتایج حاصل از این مرحله با نتایج محققین قبلی که ذکر شد هم خوانی دارد و نشان می‌دهد که در این فاز بیشترین آسیب ایجاد شده است.

از مقایسه‌ی میانگین نمره‌های مربوط به مطالعات رفتاری در گروه‌های مختلف می‌توان نتیجه گرفت که در فاز ایسکمی و فاز ریپرفیوژن کوتاه مدت، موش‌های صحرایی مورد آزمایش بیش از ۷۵ درصد توانایی‌های رفتاری خود را در مقایسه با گروه کنترل از دست داده‌اند. اما در فاز ریپرفیوژن بلندمدت، حیوانات مورد آزمایش نوعی بهبودی نسبی در مقایسه با گروه‌های دیگر از خود نشان می‌دهند و در این فاز توانسته‌اند بیش از ۷۵ درصد توانایی‌های رفتاری را کسب نمایند. بنابراین بیشترین نقص رفتاری در ساعت سه

### منابع

- 1- Robbins SL. *Pathologic Basis of Disease*. Philadelphia: Williams & Wilkins; 2004, 486-8.
- 2- Aust NZ. Ischemia -reperfusion injury to the intestine. *J Surg*. 1998; 68(8): 554- 61.
- 3- Robert LB. Leukocyte mediated reperfusion injury: What role HBO? *Hyperbaric medicines update*. 1996; 1: 1 –2.
- 4- Chris G, Hitoshi N, David M, et al. Neuroprotective effects of nitrone radical scavenger S-PBN on reperfusion nerve injury in rats. *Brain Res*. 2003; 982(2): 179 - 85.
- 5- Abtullah M, Emerh A, Ozlen TB, Celal B. The effect of alprostadiol on ischemia-reperfusion injury of peripheral nerve in rats. *Pharmacol Res*. 2004; 49: 67-72.
- 6- Haruyasu I, James D. S, Ann M.S, Yanping W, Phillip A. Low, Peripheral nerve ischemia: reperfusion injury and fiber regeneration. *Exp Neurol*. 2003; 184(2): 997-1002.
- 7- Saray A, Apan A, Kisau U. Free radical-induced damage in experimental peripheral nerve injection injury. *Reconstr Microsurg*. 2003; 19(6):401- 6.
- 8- Kihara M, Schmelzer J D, Kihara Y, Smithson I L, Low PA. Efficacy of limb cooling on the salvage of peripheral nerve from ischemic fiber degeneration. *Muscle Nerve*. 1996 ; 19: 203– 9.
- 9- Sidney S, N Johan C. *Nonparametric Statistics for the Behavioral Sciences*. New York: McGraw-Hill book company; 1988, 206 - 215.

- 10- Nukada H, Dyck PJ. Microsphere embolization of nerve capillaries and fiber degeneration. *Am J Pathol.* 1984; 115: 275 – 87.
- 11- Nayler WG, Poole-Wilson PA, Williams A. Hypoxia and calcium. *J Mol Cell Cardio.* 1979; 11: 683- 06.
- 12- Schoeberg MH, Beger HG. Reperfusion injury after intestinal ischemia. *Crit care med.* 1993; 12(9): 1376 - 86.
- 13- Nagamatsu M, Schmelzer JD, Zollman PJ, Smithson IL, Nickander KK, Low PA. Ischemic reperfusion causes lipid peroxidation and fiber degeneration. *Muscle Nerve.* 1996; 19: 37- 47.
- 14- Anderson GM, Nukada H, McMorran PD. Carbonyl histochemistry in rat reperfusion nerve injury. *Brain Res.* 1997; 772: 156 – 60.

Archive of SID